

半滑舌鳎 *IRF-7* 基因的全长 cDNA 克隆及表达分析

刘万建^{1,2} 史成银^{2*} 宋展³ 耿伟光² 李赞¹ 黄捷²

(¹中国海洋大学教育部海水养殖重点实验室, 青岛 266003)

(²农业部海洋渔业可持续发展重点实验室 中国水产科学研究院黄海水产研究所, 青岛 266071)

(³山东理工大学, 淄博 255049)

摘要 本研究克隆了半滑舌鳎干扰素调节因子 7 (*CsIRF-7*) cDNA 的全长序列, 并对该基因进行了结构特征分析, 同时还完成了该基因在半滑舌鳎各组织中表达水平的定量分析。结果表明, *CsIRF-7* 基因 cDNA 全长为 1 957 bp, 其中包含 48 bp 的 5'-UTR、1 302 bp 的 ORF 和 607 bp 的 3'-UTR。 *CsIRF-7* cDNA 编码一个由 433 个氨基酸残基组成的多肽。氨基酸序列比对结果表明, *CsIRF-7* 多肽与脊椎动物 IRF-7 相似, 存在高度保守的 3 个结构域: DNA 结合域 (DNA binding domain, DBD)、干扰素相关区 (IRF associated domain, IAD) 和丝氨酸富含区 (Serine-rich domain, SRD)。全长氨基酸序列同源性分析发现, *CsIRF-7* 与硬骨鱼类的 IRF-7 同源性较高, 与 4 种硬骨鱼类的同一性和相似性分别介于 48.5%~73.6% 和 65.4%~83.8% 之间; 其中与牙鲆的同一性和相似性最高, 分别为 73.6% 和 83.8%; 而与哺乳类和鸟类 IRF-7 的同源性较低, 其同一性和相似性分别仅为 30.3%~32.2% 和 46.5%~52.5%。系统进化分析表明, *CsIRF-7* 与硬骨鱼类的 IRF-7 聚为一类, 并与其他脊椎动物的 IRF-7 和 IRF-3 共同组成了脊椎动物 IRF-3 亚家族。实时荧光定量 PCR 检测结果显示, *CsIRF-7* 基因在半滑舌鳎的肝、肾、脾、血细胞、鳃、肠和心脏等 7 种检测的组织中均有表达, 在肠中表达量最高, 而在肝、鳃和血细胞中表达量相对较少。

关键词 半滑舌鳎 干扰素调节因子 7 Poly I:C 基因克隆 表达分析

中图分类号 S917.4 **文献识别码** A **文章编号** 1000-7075(2012)05-0039-09

Molecular cloning and tissue expression of *IRF-7* gene of *Cynoglossus semilaevis*

LIU Wan-jian^{1,2} SHI Cheng-yin^{2*} SONG Zhan³

GENG Wei-guang² LI Yun¹ HUANG Jie²

(¹Key Laboratory of Mariculture, Ministry of Education, Ocean University of China, Qingdao 266003)

(²Key Laboratory of Sustainable Development of Marine Fisheries, Ministry of Agriculture, Yellow Sea Fisheries Research Institute, Chinese Academy of Fishery Sciences, Qingdao 266071)

(³Shandong University of Technology, Zibo 255049)

ABSTRACT The full-length cDNA sequence of interferon regulatory factor 7 (*IRF-7*) of tongue sole *Cynoglossus semilaevis* was cloned by rapid amplification cDNA end (RACE) method. The full-length cDNA of *C. semilaevis* *IRF-7* (*CsIRF-7*) is 1 957bp, containing a 48 bp 5'-

中国水产科学研究院基本科研业务费(2012A0501)和国家重点基础研究发展计划课题(2006CB101802)共同资助

* 通讯作者。E-mail: shicy@ysfri.ac.cn

收稿日期: 2012-02-16; 接受日期: 2012-06-06

作者简介: 刘万建(1985-), 男, 硕士研究生, 主要从事水产养殖动物病害与免疫研究。E-mail: wanjian163@163.com, Tel: 15966865191

untranslated region (5'-UTR), 1 302 bp open reading frame (ORF), and a 607 bp 3'-UTR. The putative amino acid sequence of CsIRF-7 contains 433 amino acid residues. Through protein sequence alignment of IRF-7 in vertebrates, we found that the IRF-7 contains three completely conserved residues across all species, which are DNA-binding domain (DBD), IRF associated domain (IAD) and serine-rich domain (SRD). In contrast to IRF-7 of vertebrates other than fish, the DBD which is highly conserved has five tryptophan repeats, while CsIRF-7 and other fish IRF-7s have only four tryptophans with the second tryptophan residue missing. The deduced amino acid sequence of CsIRF-7 exhibited a high-level of homology with other fish, and shared the highest similarity (83.8%) and identity (73.6%) with the IRF-7 of *Paralichthys olivaceus*. The CsIRF-7 shared a low-level of homology with mammalia and aves. Phylogenetic analysis revealed that the *C. semilaevis* IRF-7 was clustered into IRF-7 subgroup with fish IRF-7 and formed the IRF-3 subfamily with IRF-3 group and other vertebrates IRF-7. Quantitative real-time method was used to detect the CsIRF-7 mRNA expression in different tissues. The results showed that CsIRF-7 was expressed in all tested tissues including liver, kidney, spleen, gill, intestine, blood cells, and heart. The high-level expression of CsIRF-7 is detected in the intestine, heart, kidney, and spleen, while a lower-level expression in the liver, gill, and blood cells. These results will be helpful for further studies on functions of antiviral and anti-bacterial of CsIRF-7 gene.

KEY WORDS *Cynoglossus semilaevis* Interferon regulatory factor-7 Poly I:C
Gene cloning Expression

干扰素(Interferon, IFN)是一类多功能的细胞因子,能诱导细胞产生抗病毒蛋白,在动物非特异免疫过程中起重要作用(Samuel *et al.* 2001)。干扰素调节因子(Interferon regulatory factor, IRF)是一种免疫调节因子,它最早作为调节干扰素转录的转录因子和干扰素诱导基因被发现(Mamane *et al.* 1999)。到目前为止,在脊椎动物中共发现有 11 种干扰素调节因子(IRF-1~IRF-11),其中 IRF-11 仅在硬骨鱼类中存在(Huang *et al.* 2010; Stein *et al.* 2007)。该家族基因在机体免疫系统中发挥多方面的作用,所有的 IRF 家族成员都参与了免疫应答,几乎所有的成员也都在细胞生长和凋亡过程中起到重要的调节作用(许巧情等 2010)。IRF-7 是研究较多的 IRFs 家族成员,也被认为是诱导 I 型干扰素及其免疫应答最重要的转录因子,对 I 型干扰素具有正反馈调节作用(Honda *et al.* 2005、2006; Sato *et al.* 1998; Marié *et al.* 1998; Levy *et al.* 2002)。

在鱼类中,IRF-7 最早在鲫 *Carassius auratus* 的 cDNA 差减文库中被筛选出来(Zhang *et al.* 2003),接着在乌鳢 *Channa argus*、虹鳟 *Oncorhynchus mykiss*、牙鲆 *Paralichthys olivaceus* 和斜带石斑鱼 *Epinephelus coioides* 中也分别克隆得到了 IRF-7 基因(Jia *et al.* 2008; Kileng *et al.* 2009; Holland *et al.* 2008; Hu *et al.* 2010; Cui *et al.* 2011)。但是在鲆鲽类中,IRF-7 的研究仍然较少。由于鱼类的进化地位较低,其免疫机制又存在多样性和复杂性,关于鱼类的 IRFs 家族基因的相关研究还不多,IRF-7 在鱼类免疫中的功能还需要更多的研究数据来揭示。

半滑舌鲷 *Cynoglossus semilaevis* 隶属硬骨鱼纲 Osteichthyes、鲽形目 Pleuronectiformes、鲷亚目 Soleoide、舌鲷科 Cynoglossidae、舌鲷属 *Cynoglossus*,为我国近海常见的温暖性底层鱼类,主要分布于我国渤海、黄海海域。自 2003 年半滑舌鲷人工繁殖取得成功以来,该鱼的人工养殖已在中国北方获得大面积推广。与此同时,围绕半滑舌鲷的发育生物学、性别控制和全雌苗种培育等方面也开展了较为深入的研究(Chen *et al.* 2007)。然而,对半滑舌鲷的免疫相关基因的研究相对较少,目前仅见 MHC 基因、TLR 基因、MyD88 基因

的报道(Xu *et al.* 2009; Yu *et al.* 2009; 沙珍霞等 2010)。为此,本研究开展了半滑舌鲷 *IRF-7* 基因(*CsIRF-7*)全长 cDNA 的克隆、测序、结构和功能域的比对分析及该基因的组织表达分布研究,为进一步了解 *IRF-7* 在半滑舌鲷免疫应答中的作用打下了基础,同时也为半滑舌鲷抗病分子机理的研究提供依据。

1 材料与方法

1.1 实验动物

半滑舌鲷 2010 年 6 月购自山东省海阳某养殖场,体重 200 ± 20 g。暂养 7d 后用于实验。其中用于克隆 *CsIRF-7* 基因全长 cDNA 的 1 尾半滑舌鲷,腹腔注射 1 mg 的 Polyinosinic:Polycytidylic acid (poly I:C),24 h 后取脾组织保存于 RNAlater 中备用。用于 *CsIRF-7* 的组织表达分析的 3 尾半滑舌鲷,不注射 poly I:C,直接取肝、肾、脾、鳃、血液细胞、肠和心脏等组织保存于 RNAlater 中备用。

1.2 RNA 提取和 cDNA 合成

将 1.1 中保存在 RNAlater 中的各组织,依照 QuickGene RNA Tissue Kit 试剂盒(Fuji Film 公司)说明书,分别提取样品总 RNA,然后用 RQ1 RNase-free DNase (Promega 公司)去除总 RNA 中的基因组 DNA,并用 NanoDrop 2000c 紫外分光光度计(Thermo 公司)测定 RNA 的浓度和纯度,取高质量的 RNA 用于 cDNA 合成。cDNA 末端快速扩增(RACE)所用 cDNA 由 SMART™ RACE cDNA Amplification Kit(Clontech 公司)合成,qPCR 所用 cDNA 由 TransScript Green Two-Step qRT-PCR SuperMix 试剂盒(TransGen 公司)合成。合成的 cDNA 保存于 -20°C 备用。

1.3 *CsIRF-7* cDNA 部分片段的克隆与测序

从 GenBank 中检索并下载部分硬骨鱼的 *IRF-7* cDNA 序列,经多序列比对找出保守区,依照保守区序列设计简并引物 *CsIRF7-F* 和 *CsIRF7-R* (表 1)。25 μl PCR 反应体系包括:10 \times EX *Taq* Buffer 2.5 μl (TaKaRa 公司)、dNTP Mixture 2 μl (各 2.5mmol/L)、正反向引物各 1 μl (10mm)、EX *Taq* 0.15 μl (TaKaRa 公司)、cDNA 模板 1 μl 、RNase-free 水 17.35 μl 。反应程序为:94 $^{\circ}\text{C}$ 预变性 1 min;94 $^{\circ}\text{C}$ 变性 30 s,52 $^{\circ}\text{C}$ 退火 30 s,72 $^{\circ}\text{C}$ 延伸 1 min,35 个循环;72 $^{\circ}\text{C}$ 延伸 10 min。对 PCR 产物进行纯化、克隆和测序,获得 *CsIRF-7* cDNA 的部分片段序列。

1.4 应用 RACE 技术获得 *CsIRF-7* 基因的全长 cDNA 序列

依据 1.3 中测定的 *CsIRF-7* cDNA 部分片段的序列,设计了 4 条 RACE 引物 *CsIRF7-3F1*、*CsIRF7-3F2*、*CsIRF7-5R1* 和 *CsIRF7-5R2* (表 1),然后按照 SMART™ RACE cDNA Amplification Kit (Clontech 公司)说明书分别进行 3' RACE 和 5' RACE 反应。PCR 反应程序为:94 $^{\circ}\text{C}$ 预变性 3 min;94 $^{\circ}\text{C}$ 变性 30 s,70 $^{\circ}\text{C}$ 退火 30 s,72 $^{\circ}\text{C}$ 延伸 1 min,6 个循环;94 $^{\circ}\text{C}$ 变性 30 s,68 $^{\circ}\text{C}$ 退火 30 s,72 $^{\circ}\text{C}$ 延伸 1 min,30 个循环;72 $^{\circ}\text{C}$ 延伸 10 min。对 PCR 产物进行纯化、克隆和测序。对测序结果进行拼接,最后获得 *CsIRF-7* 基因的全长 cDNA 序列。

1.5 序列比对与系统进化树构建

用 AccelrysGene 软件分析 *CsIRF-7* 基因的全长 cDNA 序列,预测其开放读码框(Open Reading Frame, ORF),推导出相应的氨基酸序列并预测蛋白质的分子量和等电点;用 DNAMAN 软件进行氨基酸多序列比对,分析 *CsIRF-7* 多肽的结构特征;用 MatGAT 软件进行氨基酸同源数据分析(Campanella *et al.* 2003),最后应用 MEGA 4.0 软件的邻位相联法构建系统进化树。GenBank 号如下:牙鲆 *Paralichthys olivaceus* (*IRF-1*; AB005883, *IRF-5*; ADZ96215)、斑马鱼 *Danio rerio* (*IRF-3*; NP_001137376, *IRF-4*; XM_692638)、非洲爪蟾 *Xenopus tropicalis* (*IRF-7*; XP_002938747)、人 *Homo sapiens* (*IRF-1*; CAA32624, *IRF-2*; CAA34073,

IRF-3:AAH09395, *IRF-4*:AAC50779, *IRF-5*:AAA96056, *IRF-6*:AAB84111, *IRF-8*:AAB63813), 其余序列的 GenBank 检索号见表 2。

表 1 实验所用引物及其序列
Table 1 Primers used in this study

名称 Name	序列 Sequence(5'-3')	用途 Application
<i>CsIRF7-F</i>	CAG AGT CCC CTG GAA (A/G)CA C	Homology PCR
<i>CsIRF7-R</i>	CAG (A/C)GG (A/G)AC CAC CTT GAC	Homology PCR
<i>CsIRF7-3F1</i>	CCA GTG TTG CTC ACC CAA ACC CGA	3'RACE first round PCR
<i>CsIRF7-3F2</i>	GGC AGC TCC CCT CGC TAT ACC ATT AA	3'RACE second round PCR
<i>CsIRF7-5R1</i>	TAG ATT TTG TGC GGG TCG TCG GAG T	5'RACE first round PCR
<i>CsIRF7-5R2</i>	GGG GAA CTC GTT TAT TTT GCC ACT TG	5'RACE second round PCR
<i>CsIRF7-QF</i>	GGA CTG TGC TAC GTG GGT C	Real-time PCR
<i>CsIRF7-QR</i>	GGT CGT CGG AGT TCT TGG	Real-time PCR
<i>βactin F</i>	GTA GGT GAT GAA GCC CAG AGC A	Real-time PCR
<i>βactin R</i>	CTG GGT CAT CTT CTC CCT GT	Real-time PCR

表 2 半滑舌鲷与 7 种脊椎动物 *IRF-7* 氨基酸序列的同源性比较
Table 2 Amino acid sequence identity and similarity of *CsIRF-7* with those of other 7 vertebrates

物种 Species	GenBank No.	同一性 Identity (%)		相似性 Similarity(%)		
		DBD	Whole	DBD	Whole	
鱼类						
牙鲆	<i>Paralichthys olivaceus</i>	ACY69214	85.2	73.6	92.6	83.8
斜带石斑鱼	<i>Epinephelus coioides</i>	ADA57613	85.2	71.2	92.6	82.2
乌鳢	<i>Channa argus</i>	ABK63482	83.3	70.3	91.7	81.5
斑马鱼	<i>Danio rerio</i>	AAH58298	60.6	48.5	78.7	65.4
鸟类						
鸡	<i>Gallus gallus</i>	AAA86995	46.6	32.2	62.6	48.5
哺乳类						
鼠	<i>Mus musculus</i>	AAB18626	42.1	30.3	60.0	52.5
人	<i>Homo sapiens</i>	AAB17190	40.5	30.5	57.6	46.5

1.6 *CsIRF-7* 基因的组织表达分析

根据测定的 *CsIRF-7* 基因的全长 cDNA 序列,设计引物 *CsIRF7-QF* 和 *CsIRF7-QR* (表 1)。以 *β actin* 为内参基因,使用 Corbett Rotor-Gene 3000 实时定量 PCR 仪(Qiagen 公司),用实时荧光定量 PCR 的方法分析 *CsIRF-7* 基因在不同组织的转录水平。25 μ l 的反应体系含 10mmol/L 正反向引物各 0.5 μ l、cDNA 模板 1 μ l、2 \times TransStartTM SuperMix 12.5 μ l (TransGen 公司)、染料 0.5 μ l、RNase-free 水 10 μ l。反应程序为:95 $^{\circ}$ C 预变性 30 s;95 $^{\circ}$ C 变性 5 s,57 $^{\circ}$ C 退火 15 s,72 $^{\circ}$ C 延伸 15 s,45 个循环。反应结束后,通过溶解曲线的分析来鉴定扩增产物的专一性。用 *β actin* 的表达量来校正所有样品中 RNA 量的差异。用 Livak 和 Schmittgen 的 $2^{-\Delta\Delta CT}$ 方法计算各组织中 *CsIRF-7* 的相对表达量(Livak *et al.* 2001)。

1.7 数据分析

采用 SPSS 软件对实验结果进行单因素实验统计分析 with 显著性检验, $P < 0.05$ 为显著性差异。

2 结果与分析

2.1 *CsIRF-7* 基因 cDNA 全长的克隆与序列分析

通过同源序列克隆方法获得了半滑舌鳎 *IRF-7* 基因 cDNA 1 057 bp 的部分片段, 该序列与牙鲆的 *IRF-7* (JF312911) 同源性最高达 77%。随后进行的 3' RACE 和 5' RACE 扩增反应, 分别获得大小为 871 bp 和 249 bp 的序列。最后将获得的 3 段序列进行拼接, 得到半滑舌鳎 *IRF-7* 基因全长 cDNA 序列。

半滑舌鳎 *IRF-7* 基因的 cDNA 全长为 1 957 bp (GenBank 检索号: JQ062531), 包含 48 bp 的 5'-非翻译区(5'-UTR)、1 302 bp 的开放读码框(ORF)和 607 bp 的 3'-非翻译区(3'-UTR)。其中, ORF 从全长 cDNA 的第 49 位核苷酸开始到第 1 350 位核苷酸终止, 编码 433 个氨基酸残基的多肽, 多肽分子量为 49.7 ku, 等电点约为 5.83。3'-UTR 还包含 5 个 mRNA 不稳定结构(ATTTA)、一个加尾信号(AATAAA)和一个 poly(A) 尾。

从 ORF 推测得到的半滑舌鳎 *IRF-7* 多肽具有一系列保守的蛋白结构域: DNA 结合域(DNA binding domain, DBD)、干扰素相关区(*IRF* associated domain, IAD)和丝氨酸富含区(Serine-rich domain, SRD)。其中, DBD 位于多肽的 N 末端, 由开始的 108 个氨基酸组成, 该结构域包含 4 个色氨酸重复结构, 该重复是 *IRFs* 家族 DBD 结合域共有的特征。IAD 则位于多肽的中间部分(第 216 位~388 位)。SRD 位于多肽的 C 末端, 其结构与哺乳动物的 SRD 相似(图 1)。

2.2 脊椎动物 *IRF-7* 氨基酸序列的多序列比对与同源性比较

将半滑舌鳎和 GenBank 中 7 种代表性脊椎动物的 *IRF-7* 氨基酸序列进行多序列比对和同源性比较。结果发现, 在全长氨基酸序列方面, 半滑舌鳎 *IRF-7* 与 4 种硬骨鱼类的 *IRF-7* 同一性介于 48.5%~73.6% 之间, 最高的为牙鲆(73.6%); 半滑舌鳎 *IRF-7* 与 4 种硬骨鱼类的 *IRF-7* 相似性也较高, 分别为牙鲆 83.8%、斜带石斑鱼 82.2%、乌鳢 81.5%、斑马鱼 65.4%, 而与鸟类和哺乳类的相似性较低, 介于 46.5%~52.5% 之间。与全长氨基酸序列相比, *IRF-7* 的 DNA 结合域部分(*IRF-7* DBD) 的同一性和相似性均更高: 半滑舌鳎 *IRF-7* DBD 与 7 种硬骨鱼类的 *IRF-7* DBD 同一性介于 60.6%~85.2% 之间; 相似性介于 78.7%~92.6% 之间, 分别为牙鲆 92.6%、斜带石斑鱼 92.6%、乌鳢 91.7%、斑马鱼 78.7%(图 1、表 2)。

2.3 脊椎动物 *IRF-7* 系统进化树的构建与分析

为了解 *CsIRF-7* 在鱼类干扰素调节因子家族中的进化地位, 以及与已知的 *IRFs* 家族之间的关系, 构建了鱼类、鸟类和哺乳类的 *IRFs* 家族的进化树, 进化枝上的数值表示 1 000 次重复抽样所得的支持率。结果表明, 所有的 *IRF-7* 聚类在一起, 其中 *CsIRF-7* 与牙鲆等硬骨鱼类的 *IRF-7* 亲缘关系较近, 而与两栖类、鸟类和哺乳类 *IRF-7* 的亲缘关系较远。系统进化分析还表明, 脊椎动物的 *IRFs* 家族共分为 4 个亚家族, 其中 *CsIRF-7* 与其他脊椎动物的 *IRF-7* 和 *IRF-3* 共同构成了脊椎动物 *IRF-3* 亚家族(图 2)。

2.4 半滑舌鳎 *IRF-7* 基因的组织分布

用实时荧光定量 RT-PCR 的方法测定了 *CsIRF-7* 基因在半滑舌鳎各组织中的相对表达量。结果显示, *CsIRF-7* 基因呈组织特异性表达, 在鱼体的肝、肾、脾、血细胞、鳃、肠和心脏等 7 个组织中均能被检测到。但 *CsIRF-7* 基因在各个组织中的表达量存在差异: 在肠、心脏、肾和脾中表达量较高, 其中肠中的表达量最高, 为肝脏中表达量的 21.2 倍; 在心脏、肾和脾中的表达量分别为肝脏中表达量的 9 倍、6.4 倍和 3.4 倍, 差异均呈显著性。另一方面, *CsIRF-7* 基因在鱼体肝、鳃和血细胞中表达量相对较少, 相互之间的差异不显著(图 3)。

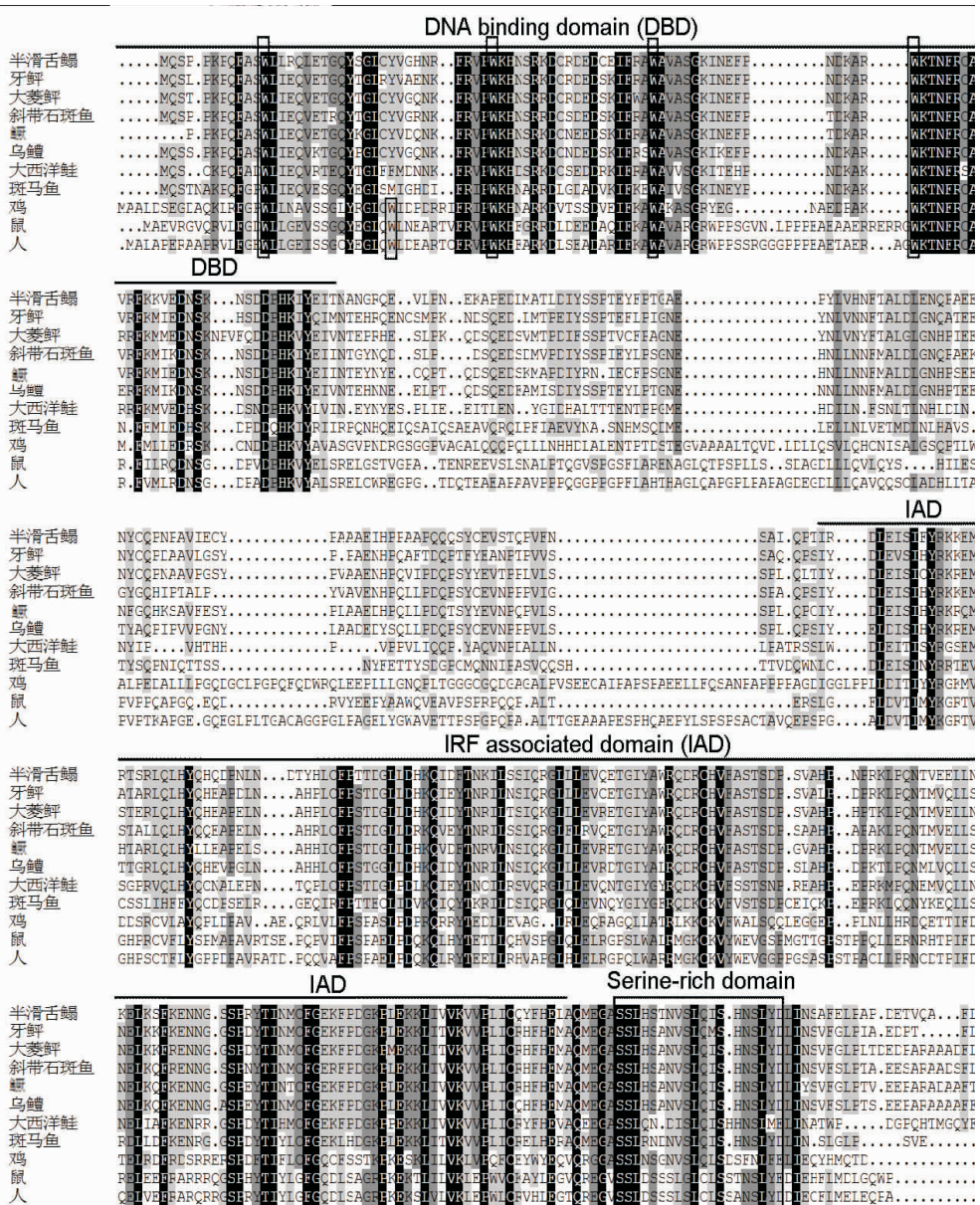


图 1 脊椎动物 IRF-7 全长氨基酸序列的结构特征及多序列比对

Fig. 1 Structure analysis and multiple alignment of IRF-7 amino acid sequences of 11 vertebrates

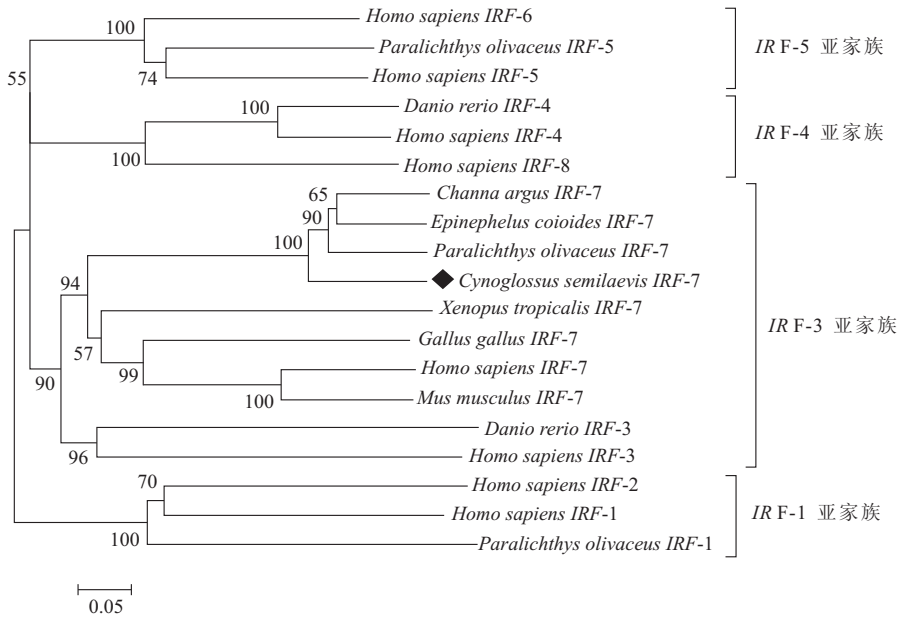
黑色背景表示各个物种完全保守的氨基酸，“.”表示不存在氨基酸残基。DNA 结合域(DBD)、干扰素相关区(IAD)用横线在比对结果上面标注出,C-末端的丝氨酸富含区(SRD)用大方框标出。DNA 结合域区保守的色氨酸用小方框标出

Nonexistent amino acids are denoted by dots. Completely conserved residues across all species aligned are shaded in black. The DNA-binding domain (DBD) and IRF associated domain (IAD) are indicated by lines above the aligned sequence. The C-terminal serine-rich domain (SRD) is highlighted by a big box. The conserved tryptophan (W) residues in the DBD are highlighted by small boxes

3 讨论

脊椎动物 IRF-7 基因被认为是诱导 I 型干扰素及其免疫应答因子最重要的转录因子,目前在硬骨鱼中, IRF-7 的研究报道还相对较少。为深入研究重要水产养殖鱼类半滑舌鲷 IRF-7 基因的功能和免疫调控作用,

本研究采用 RACE 技术,从半滑舌鳎组织中克隆得到了 *IRF-7* 基因的全长 cDNA,并进行了分子鉴定、结构和功能域分析;应用实时荧光定量 RT-PCR 技术,分析了该基因在半滑舌鳎组织中的表达水平,该研究为进一步研究半滑舌鳎 *IRF-7* 基因的蛋白表达纯化及其作用功能的研究工作打下了基础。

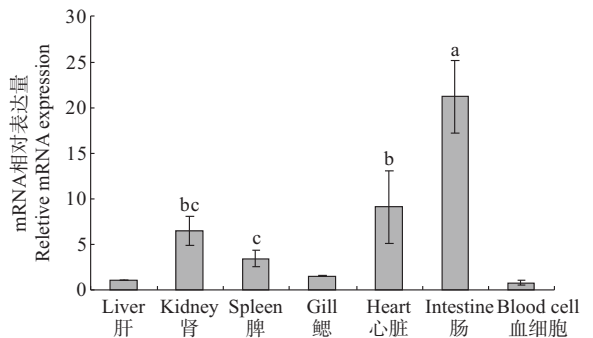


The phylogenetic neighbor-joining tree was constructed based on amino acid sequences of 19 *IRF* family members from twelve species of vertebrate

图 2 脊椎动物 *IRF*s 家族的系统发生关系

Fig. 2 Phylogenetic relationship within the *IRF* family

cDNA 序列分析结果表明,半滑舌鳎 *IRF-7* cDNA 的 3'端有 5 个 mRNA 不稳结构,该结构具有炎症反应的调控编码基因 (Sachs *et al.* 1993)。氨基酸序列比对结果发现,与鸟类和哺乳类相似,半滑舌鳎 *IRF-7* 基因编码的多肽也包含 DNA 结合域 (DBD)、干扰素相关区 (IAD) 和丝氨酸富含区 (SRD) 等 3 个典型的结构特征。其中 DBD 包含一个由多个间隔的色氨酸重复构成的螺旋-转角-螺旋结构,这一结构能结合在 ISRE/*IRF-E* 序列上 (Paun *et al.* 2007)。在哺乳动物中,该结构域通常有 5 个色氨酸重复,但本研究发现半滑舌鳎 *IRF-7* DBD 仅由 4 个间隔的色氨酸重复序列构成,缺少了其中的第 2 个色氨酸。IAD 最先在 *IRF-8* 中被发现,除 *IRF-1* 和 *IRF-2* 之外的所有 *IRF*s 均具有该结构域,其保守性较高。在 *IRF-7* 中,IAD 可以起到干扰其活化的作用 (Sharf *et al.* 1997; Yamamoto *et al.* 1994)。SRD 是 *IRF-7* C 末端高度保守的区域,该结构域与病毒诱导的磷酸化有关,并负责 *IRF-3* 和 *IRF-7* 或其他 *IRF*s 之间的相互作用 (贾伟章 2008)。以上研究表明,鱼类、鸟类和哺乳类 *IRF-7* 的结构特征高度保守,这些结构的相似性同时也说明其



Data were expressed as a ratio to *CsIRF-7* mRNA expression in the liver. Values marked by different letters indicate significant difference between each other. Each column and bar represents the mean \pm S. D. from three individuals

图 3 *CsIRF-7* 基因在健康半滑舌鳎 7 种组织中的表达分析
Fig. 3 The expression analysis of *CsIRF-7* gene in seven tissues of *C. semilaevis* by real-time RT-PCR

功能的相似性。

通过氨基酸序列的同一致性和相似性比较,研究发现,半滑舌鳎 *IRF-7* 与硬骨鱼类尤其是鲆鲽类的 *IRF-7* 相似性较高,而与鸟类和哺乳类的 *IRF-7* 相似性较低。系统进化结果表明,半滑舌鳎与硬骨鱼类的 *IRF-7* 聚类在一起,与同属鲆鲽类的牙鲆进化关系最近,而与两栖类、鸟类和哺乳类的 *IRF-7* 进化关系较远。脊椎动物 *IRFs* 家族的系统进化分析结果还证明,脊椎动物的 *IRFs* 家族分为 4 个亚家族,*IRF-7* 属于 *IRF-3* 亚家族的一个分支。

在哺乳动物中,*IRF-7* 基因通常在免疫组织中有表达,尤其是在浆细胞样树突状细胞以及 poly I:C、病毒、脂多糖和肿瘤坏死因子刺激后表达量较高(Honda *et al.* 2006; Paun *et al.* 2007; Ning *et al.* 2005)。研究表明,在鱼类中,*IRF-7* 基因在各组织中都有表达且本底表达较低,同时 *IRF-7* 在各物种表达量较多的组织并不完全相同:在鲫的脾和前肾中表达量较高(Zhang *et al.* 2003),在乌鳢的鳃和肠中表达量较高(Jia *et al.* 2008),在斜带石斑鱼的脾和肠中表达量较高(Cui *et al.* 2011),在虹鳟各组织中却检测不到 *IRF-7* 基因的表达(Holland *et al.* 2008)。本研究发现,*CsIRF-7* 基因在半滑舌鳎的肝、肾、脾、血细胞、鳃、肠和心脏等组织中都有表达,其中在肠、肾和脾等免疫应答相关器官中表达量较高,该结果与其他硬骨鱼类的研究结果相类似。但不同的是,*CsIRF-7* 基因在半滑舌鳎心脏中的表达量相对较高,在肠中的表达量最高。这种组成性表达模式差异的生物学意义有待进一步研究。肠作为鱼类的消化和吸收器官,其中分布着多种微生物并且与之直接接触,这可能与 *CsIRF-7* 在肠中的高表达有关。以上研究表明,硬骨鱼类 *IRF-7* 与哺乳动物 *IRF-7* 这种表达模式的不同,暗示着它们可能存在不同的作用过程;在脾、肾和肠中表达量较多,也暗示着 *IRF-7* 不仅参与了抗病毒的感染机制,同时也参与了抗细菌的感染机制,但其在鱼类免疫系统中具体的作用过程还需要进一步的研究。

鱼类免疫相关基因与哺乳类相比可能有较大程度的差异,因此需要更多的研究来揭示 *IRFs* 家族成员在鱼类免疫中的功能。本研究成功克隆了半滑舌鳎 *IRF-7* 基因并且对其进行了分子鉴定、结构和功能域的分析,同时完成了 *IRF-7* 在半滑舌鳎健康组织中的表达分析,为鱼类 *IRF-7* 的研究提供了数据,也为更好地了解 *IRFs* 家族基因之间相互作用奠定了基础。

参 考 文 献

- 许巧情,昌鸣先,肖凡书,李楠,聂品. 2010. 草鱼干扰素调节因子 5 的表达研究. 水生生物学报, 34(6): 1206~1210
- 沙珍霞,王娜,王启龙,徐田军,王磊,董晓丽,陈松林. 2010. 半滑舌鳎髓样分化因子的克隆和表达分析. 中国水产科学, 17(4): 659~670
- 贾伟章. 2008. 乌鳢免疫相关基因的克隆鉴定与特征分析. 见:中国科学院研究生院(水生生物研究所)博士学位论文
- Campanella, J. J., Bitincka, L., and Smalley, J. 2003. MatGAT: An application that generates similarity/identity matrices using protein or DNA sequences. BMC Bioinformatics, 4: 29
- Chen, S. L., Li, J., Deng, S. P., and Tian, Y. S. 2007. Isolation of female-specific AFLP markers and molecular identification of genetic sex in half-smooth tongue sole (*Cynoglossus semilaevis*). Marine Biotechnology, 9(2): 273~280
- Cui, H., Yan, Y., Wei, J., Huang, X. H., and Huang, Y. H. 2011. Identification and functional characterization of an interferon regulatory factor 7-like (*IRF7*-like) gene from orange-spotted grouper, *Epinephelus coioides*. Developmental & Comparative Immunology, 35(6): 672~684
- Holland, J. W., Bird, S., Williamson, B., Woudstra, C., and Seonmbes, C. J. 2008. Molecular characterization of *IRF-3* and *IRF-7* in rainbow trout, *Oncorhynchus mykiss*: functional analysis and transcriptional modulation. Molecular Immunology, 46(2): 269~285
- Honda, K., and Taniguchi, T. 2006. *IRFs*: master regulators of signaling by Toll-like receptors and cytosolic pattern-recognition receptors. Nature Reviews Immunology, 6: 644~658
- Honda, K., Yanai, H., Negishi, H., Asagiri, M., Sato, M., and Taniguchi, T. 2005. *IRF-7* is the master regulator of type-I interferon-dependent immune responses. Nature, 434(7034): 772~777
- Honda, K., Yanai, H., and Takaoka, A. 2005. Regulation of the type I IFN induction: a current view. International Immunology, 17(11): 1367~1378
- Hu, G., Yin, X., Xia, J., Dong, X. Z., and Zhang, J. Y. 2010. Molecular cloning and characterization of interferon regulatory factor 7 (*IRF-7*) in Japanese flounder, *Paralichthys olivaceus*. Fish & Shellfish Immunology, 29(6): 963~971
- Huang, B., Qi, Z. T., Xu, Z., and Nie, P. 2010. Global characterization of interferon regulatory factor (*IRF*) genes in vertebrates: Glimpse of

- the diversification in evolution. *BMC Immunology*, 11:22
- Jia, W., and Guo, Q. 2008. Gene structures and promoter characteristics of interferon regulatory factor 1 (*IRF-1*), *IRF-2* and *IRF-7* from snake-head *Channa argus*. *Molecular Immunology*, 45(8): 2 419~2 428
- Kileng, Ø., Bergan, V., Workenhe, S. T., and Robertsen, B. 2009. Structural and functional studies of an *IRF-7*-like gene from Atlantic salmon. *Developmental & Comparative Immunology*, 33(1): 18~27
- Levy, D. E., Mari, I., Smith, E., and Prakash, A. 2002. Enhancement and diversification of IFN induction by *IRF-7*-mediated positive feedback. *Journal of Interferon & Cytokine Research*, 22(1): 87~93
- Livak, K. J., Schmittgen, T. D. 2001. Analysis of relative gene expression data using real-time quantitative PCR and the $2^{-\Delta\Delta CT}$ method. *Methods*, 25(4): 402~408
- Mamane, Y., Heylbroeck, C., and Génin, P. 1999. Interferon regulatory factors: the next generation. *Gene*, 237(1): 1~14
- Marié, I., Durbin, J. E., and Levy, D. E. 1998. Differential viral induction of distinct interferon- α genes by positive feedback through interferon regulatory factor *IRF-7*. *The EMBO Journal*, 17(22): 6 660~6 669
- Ning, S. B., Huye, L. E., and Pagano, J. S. 2005. Regulation of the transcriptional activity of the *IRF7* promoter by a pathway independent of interferon signaling. *The Journal of Biological Chemistry*, 280(13): 12 262~12 270
- Paun, A., and Pitha, P. M. 2007. The *IRF* family, revisited. *Biochimie*, 89(6-7): 744~753
- Sachs, A. B. 1993. Messenger RNA degradation in eukaryotes. *Cell*, 74(3): 413~421
- Samuel, C. E. 2001. Antiviral action of interferons. *Clin. Microbiol. Rev.* 14:778~809
- Sato, M., Hata, N., Asagiri, M., Nakaya, T., and Tanaka, N. 1998. Positive feedback regulation of type I IFN genes by the IFN-inducible transcription factor *IRF-7*. *FEBS*, 441(1): 106~110
- Sharf, R., Meraro, D., Azriel, A. *et al.* 1997. Phosphorylation events modulate the ability of interferon consensus sequence binding protein to interact with interferon regulatory factors and to bind DNA. *Journal of Biological Chemistry*, 272(15): 9 785~9 792
- Stein, C., Caccamo, M., Laird, G., and Leptin, M. 2007. Conservation and divergence of gene families encoding components of innate immune response systems in zebrafish. *Genome Biology*, 8:R251
- Xu, T. J., Chen, S. L., Ji, X. S., and Sha, Z. X. 2009. Molecular cloning, genomic structure, polymorphism and expression analysis of major histocompatibility complex class IIA and IIB genes of half-smooth tongue sole (*Cynoglossus semilaevis*). *Fish & Shellfish Immunology*, 27(2): 192~201
- Yamamoto, H., Lamphier, M. S., Fugita, T. *et al.* 1994. The oncogenic transcription factor *IRF-2* possesses a transcriptional repression and a latent activation domain. *Oncogene*, 9(5): 1 423~1 428
- Yu, Y., Zhong, Q., Li, C., Jiang, L., Wang, Z., and Zhang, Q. 2009. Isolation and characterization of Toll-like receptor 9 in half-smooth tongue sole *Cynoglossus semilaevis*. *Fish & Shellfish Immunology*, 26(3): 492~499
- Zhang, Y. B., Hu, C. Y., Zhang, J., Huang, G. P., Wei, L. H., Zhang, Q. Y., and Gui, J. F. 2003. Molecular cloning and characterization of crucian carp (*Carassius auratus* L.) interferon regulatory factor 7. *Fish & Shellfish Immunology*, 15(5): 453~466